

MORFOLOGIJA MEĀNIC PP/PS, KOMPATIBILIZIRANIH Z BLOKKOPOLIMEROM SBS

MORPHOLOGY OF PP/PS BLENDS COMPATIBILIZED WITH SBS BLOCK COPOLYMER

GREGOR RADONJI¹, V. MUSIL¹, I. [MIT²

¹Univerza v Mariboru, EPF Maribor, Inštitut za tehnologijo, Razlagova 14, 2000 Maribor, Slovenija

²Institut Ruđer Bošković, Zagreb, Hrvatska

Prejem rokopisa - received: 1997-10-01; sprejem za objavo - accepted for publication: 1997-12-19

Nemečljivi polimerni mečanici polipropilena (PP) in polistirena (PS) smo dodajali blokkopolimer poli(stiren-b-butadien-b-stiren) (SBS) kot kompatibilizator. S presevno elektronsko mikroskopijo (TEM) in (irokokotno rentgensko difrakcijo) (WAXD) smo preu-evali morfologijo binarnih mečanic PP/PS in PP/SBS ter ternarnih mečanic PP/PS/SBS. TEM-analiza je pokazala, da so v mati-ni fazi PP dispergirani agregirani delci PS, ki jih obdaja SBS. SBS isto-asno povezuje mati-no in dispergirano fazo. Z WAXD analizo je bilo ugotovljeno, da poleg tega dodatek SBS k homopolimeru PP in mečanicam PP/PS sistematično spreminja stopnjo kristalini-nosti in velikost ter orientacijo kristalitov PP, kar kaže na nedvomni vpliv SBS na kristalizacijo PP. Klju-ne besede: kompatibilizacija, morfologija, mečnice polimerov, polipropilen, polistiren, poli(stiren-b-butadien-b-stiren)

Morphological properties of immiscible blends of polypropylene (PP) and polystyrene (PS) with poly(styrene-b-butadiene-b-styrene) (SBS) block copolymer as a compatibilizer were studied by transmission electron microscopy (TEM) and wide angle X-ray diffraction (WAXD). TEM analysis revealed that in PP matrix dispersed aggregated PS particles are joined together with SBS shells. SBS also improves the adhesion between matrix and dispersed phase. Addition of SBS to pure PP, or to PP/PS blends, changes degree of crystallinity, crystallite size and orientation systematically, indicating an obvious influence of SBS on PP crystallization behavior.

Key words: compatibilization, morphology, polymer blends, polypropylene, polystyrene, poly(styrene-b-butadiene-b-styrene)

1 UVOD

Polimerne mečnice na osnovi izotakti-nega polipropilena (iPP) predstavljajo intenzivno podro-je raziskav novih polimernih materialov^{1,2}. Ker je PP nemečljiv z veliko ve-ino drugih polimerov, lahko proizvedemo mečnice PP z izboljšanimi lastnostmi najve-krat le z modifikacijo medfaznih površin nemečljivih polimerov. To pomeni, da s kontrolo morfologije vplivamo na lastnosti tak{nih polimernih mečnic. Stabilizacijo morfologije nemečljive polimerne mečnice z razli-nimi fizikalnimi ali kemijskimi metodami definiramo kot kompatibilizacijo³. Blokkopolimeri so se pokazali kot u-inkoviti medfazni modifikatorji in stabilizatorji nemečljivih polimernih mečnic³⁻⁵. Osnovne vidike medfaznega delovanja blokkopolimerov in vrste kompatibilizacijskih metod smo opisali 'e v prej(njih prispevkih⁶.

V predhodnih raziskavah^{7,8} smo preu-evali kompatibilizacijske u-inke poli(stiren-b-butadien-b-stiren) (SBS) na mehanske lastnosti nemečljive mečnice PP in polistirena (PS) v razli-nih masnih razmerjih. Ugotovili smo, da se pri binarnih mečnicah PP/PS z ve-anjem vsebnosti PS v matici PP zni'uje zarezna udarna 'ilavost, meja plasti-nosti in raztezek na meji plasti-nosti. 'e nemečljivo mečnico PP/PS kompatibiliziramo s SBS, se zarezna udarna 'ilavost in raztezek na meji plasti-nosti pove-ata, hkrati pa se zni'ata Youngov modul in meja plasti-nosti. Spremembe mehanskih lastnosti so posledica spremenjene morfologije in bolj{e ad-

hezije med fazama PP in PS, kar omogo-a kontinuirani prenos napetosti v materialu.

'e sestavlja mečnico polimerov tudi delno kristalini-ni termoplast (kot npr. iPP), se ob dodatku drugih polimerov spremeni njegova kristalna struktura, kar ima za posledico spremembo fizikalnih (predvsem mehanskih) lastnosti^{2,9,10}. Nadmolekulska struktura iPP je zelo kompleksna in odvisna predvsem od molekulske strukture, termi-ne predzgodovine in pogojev kristalizacije (hitrosti ohlajevanja taline, vrste dodanega nukleacij-skega sredstva).

Namen prispevka je preu-iti medfazno delovanje SBS v nemečljivo mečnici PP/PS in posledi-en vpliv SBS na spremembe nadmolekulske strukture PP.

2 EKSPERIMENTALNI DEL

2.1 Uporabljeni materiali

Za pripravo binarnih mečnic PP/PS in PP/SBS ter ternarnih (kompatibiliziranih) mečnic PP/PS/SBS smo uporabili naslednje materiale:

- polipropilen Novolen 1100L (BASF); $MFI_{230/2.16} = 6$ g/10min
- polistiren PS GP 678E (DOKI); $MFI_{200/5} = 11$ g/10min
- poli(stiren-b-butadien-b-stiren) Kraton D-1102 CS (Shell Chem. Co.), masno razmerje polistiren/polibutadien 29/71, $MFI_{200/5} = 6,6$ g/10min.

2.2 Priprava vzorcev

Binarno me^{anico} PP/PS z masnim razmerjem 70/30, binarne me^{anice} PP/SBS z masnim razmerjem 97,5/2,5; 95/5; 90/10 in ternarne me^{anice} PP/PS/SBS z 2,5, 5 ter 10 masnimi dele' i v odstotkih kompatibilizatorja ob nespremenjenem masnem razmerju PP/PS 70/30 smo pripravili v Brabenderjevem gnetilniku pri temperaturi 200°C in vrtilni frekvenci rotorja 50 min⁻¹. Vzorce smo gnetli 6 min. Talino smo nato stisnili v plo{~e debeline 1 mm z laboratorijsko hidravli-no stiskalnico. Temperatura grelnih plo{~ je bila 220°C, tlak 100 bar, ~as stiskanja 10 min. Plo{~e smo hladili na zraku do sobne temperature.

2.3 Metode preiskav

Presevna elektronska mikroskopija (TEM)

Vzorce debeline pribli{no 70 nm smo pripravili iz oblikovanih plo{~ z mikrotomiranjem pri sobni temperaturi. Pred mikrotomiranjem smo jih najprej kontrastno obarvali z izpostavljanjem param OsO₄. Pri tem so se polibutadiensi segmenti SBS obarvali ~rno zaradi reakcije z OsO₄. Nato smo vzorce izpostavili {e param raztopine RuO₄ zaradi dodatnega kontrastiranja in utrditve. Presevno elektronsko mikroskopijo (TEM) smo opravili z mikroskopom Phillips 3000 pri pospe{evalni hitrosti 80 kV.

Tirokokotna rentgenska difrakcija (WAXD)

Vzorce smo posneli z refleksijsko difraktometrijsko tehniko v difrakcijskem kotnem podro-ju 2 θ = 4-50° na Phillipsovi napravi PW1050 z monokromatiziranim CuK_α sevanjem ob rotaciji vzorca (zaradi prepre-itev efekta preferirane orientacije). Stopnjo kristalini-nosti (w_c) smo izra{unali s pomo{jo Hermans-Weidingerjeve metode¹¹, velikost kristalitov (L₁₁₀) s pomo{jo Scherrerjeve formule¹² (po korekciji instrumentalne raz{iritve profila z 111 refleksom germanija), orientacijska parametra A₁₁₀ in C pa s formulami, ki so jih predlagali Trotignon et al.¹³ in Zipper et al.¹⁴.

3 REZULTATI IN DISKUSIJA

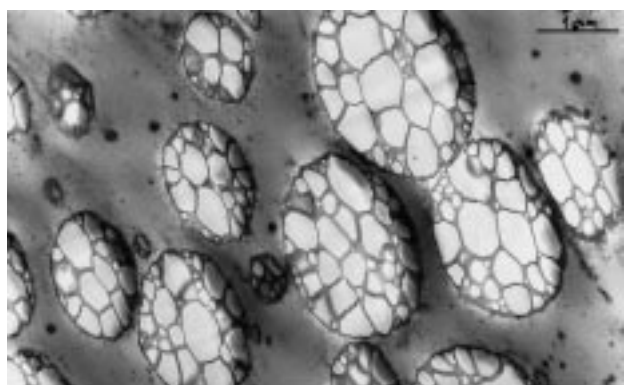
V predhodnih raziskavah je bilo ugotovljeno, da so binarne me^{anice} PP/PS z masnim razmerjem 70/30 neme{ljivi dvofazni sistemi z dispergiranimi delci PS v matici PP in {ibko medfazno adhezijo⁸. Dodatek 5 masnih dele'ev v odstotkih SBS je velikost dispergiranih delcev bistveno zmanj{al in izbolj{al adhezijo med fazama.

Slika 1 prikazuje morfologijo me^{anico} PP/PS z masnim razmerjem 70/30 ob dodatu 10-ih odstotkov SBS, posneto s presevno elektronsko mikroskopijo (TEM). Polibutadiensi (PB) segmenti SBS se med pripravo vzorca zaradi reakcije z OsO₄ obarvajo ~rno oziroma temno sivo, medtem ko polistirenski segmenti in ~isti PS ostanejo svetlej{i. TEM-analiza potrjuje, da SBS

ni lociran le na fazni meji med PP in PS, kjer zmanj{uje medfazno napetost in pove-a adhezijo med fazama, ampak tvori skupaj s PS dispergirane delce s kompleksno strukturo. Hkrati so na posnetkih vidni majhni ~rni delci znotraj matice PP, ki so verjetno preostali SBS. Tak{ni dispergirani delci SBS lahko dodatno povi{ajo zarezno udarno ' ilavost kompatibiliziranih me^{anic} PP/PS, saj je znano, da so termoplasti-ni kav~uki zelo u-inkoviti modifikatorji ' ilavosti¹⁵.

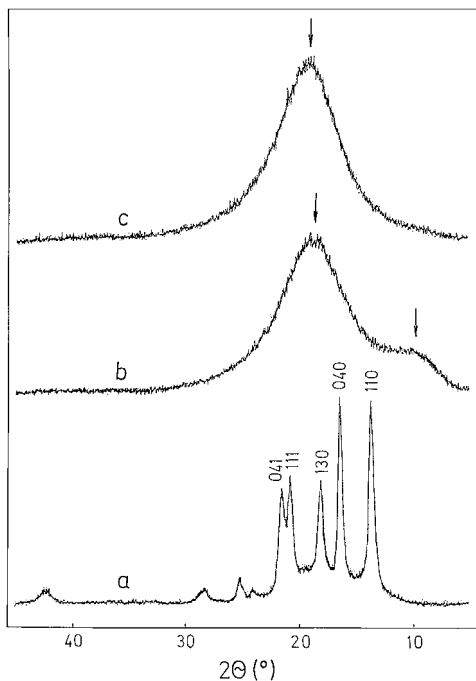
S **slike 1** je tudi razvidno, da so dispergirani delci v mati-ni fazi PP agregati delcev PS, ki jih obdaja in medsebojno povezuje SBS. Le-ta je pri sobni temperaturi fazno separiran linearni termoplasti-ni kav~uk, sestavljen iz 29 odstotkov blokov PS, ki tvorijo domene razli-nih oblik (odvisno od njegove vsebnosti) in 71 odstotkov blokov PB¹⁶. Slednji deloma difundirajo v mati-no fazo PP, bloki PS pa se v agregiranih dispergiranih delcih nahajajo bodisi kot fazno separirane sferi-ne domene ali pa kot lamele, ki povezujejo ve-je delce PS v aggregate. Fazna meja med PP in medfaznim slojem SBS, ki obdaja dispergirane delce, ni ostra, ampak difuzna, kar dokazuje, da prihaja do prepleta med PP bloki in bloki PB SBS in s tem do izbolj{ane medfazne adhezije.

Dodatek PS in medfazno delovanje SBS imata za posledico spremembo v kristalni strukturi PP. Na **sliki 2** so prikazani difraktogrami osnovnih sestavin: homopolimera iPP (ostri vrhi kristalini-nega polimera, superponirani z difuznim maksimumom amorfne faze) in amorfnega PS z dvema poudarjenima difuznima maksimumoma ter SBS z enim poudarjenim difuznim maksimumom. Difraktogram na **sliki 2a** prikazuje, da je PP sestavljen samo iz stabilne monoklinske kristalne faze oziroma α -modifikacije. Ob dodatu PS in SBS k PP (v binarnih in ternarnih me^{anicah}) prav tako niso vidni vrhi, zna{ilni za metastabilni β - in γ -modifikaciji (**slika 3**). Zaradi raz{iritve amorfnega maksimuma PP ob dodatu amorfnega PS in SBS, smo stopnjo kristalini-nosti (w_c) izra{unali s Hermans-Weidingerjevo metodo¹¹ v



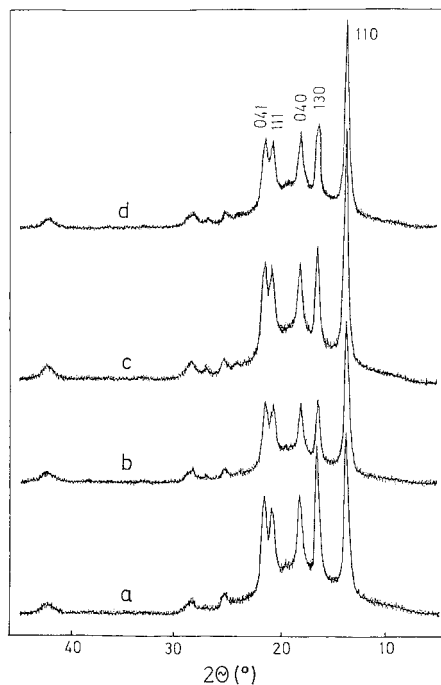
Slika 1: TEM-posnetek morfologije me^{anice} PP/PS z masnim razmerjem 70/30, kompatibilizirane z 10 masnimi dele' i v odstotkih SBS in obarvane z OsO₄ in RuO₄ (~rta ozna-uje 1 μm)

Figure 1: TEM micrograph of PP/PS blend with weight ratio 70/30 compatibilized with 10 wt.% of SBS and stained with OsO₄ and RuO₄ (scale line represents 1 μm)



Slika 2: Difraktogrami preu-evanih osnovnih sestavin: (a) iPP, (b) PS, (c) SBS

Figure 2: Diffractograms of studied pure components: (a) iPP, (b) PS, (c) SBS



Slika 3: Difraktogrami nekompatibilizirane in kompatibiliziranih meānic z masnim razmerjem PP/PS 70/30: (a) brez SBS, (b) 2,5 m.% SBS, (c) 5 m.% SBS, (d) 10 m.% SBS

Figure 3: Diffractograms of noncompatibilized and compatibilized blends with PP/PS weight ratio 70/30: (a) without SBS, (b) 2,5 wt.% SBS, (c) 5 wt.% SBS, (d) 10 wt.% SBS

kotnem podrožju $2\theta = 6-34^\circ$, namesto običajnem $2\theta = 10-30^\circ$. Stopnja kristalini-nosti binarnih meānic PP/PS in PP/SBS se ne razlikuje bistveno od aditivnih vrednosti, dobljenimi z linearno kombinacijo odgovarjajo-ih sestavin. Prav tako se velikost kristalitov (L_{110}) v binarnih meānicah ne razlikuje bistveno od vrednosti L_{110} za homopolimer PP (tabela 1). [ele v ternarnih meānicah je stopnja kristalini-nosti veja od aditivne vrednosti za 3-4,7%. Podobno je velikost kristalitov v ternarnih meānicah PP/PS/SBS v 110 ravnini veja za 4-7,2 nm v primerjavi s kristaliti v homopolimeru PP. Pove-anje stopnje kristalini-nosti in velikosti kristalitov je relativno nizko, vendar sistematično raste z dodatkom SBS.

Tabela 1: Masni odstotek (m.%), stopnja kristalini-nosti (w_c), velikost kristalitov (L_{110}) in orientacijska parametra A_{110} ter C za homopolimer PP, binarne meānice PP/PS in PP/SBS ter za ternarne meānice PP/PS/SBS

Table 1: Weight percent (m.%), degree of crystallinity (w_c), crystallite size (L_{110}), and orientation A_{110} and C parameters for homopolymer PP, binary PP/PS and PP/SBS blends, and ternary PP/PS/SBS blends

Masni razmerje PP/PS	SBS (m.%)	w_c (%)	L_{110} (nm)	A_{110}	C
100/0	0	59,5	44,2	0,481	0,385
100/0	2,5	61,0	43,0	0,604	0,268
100/0	5	57,8	43,0	0,578	0,257
100/0	10	53,2	44,2	0,557	0,261
70/30	0	42,9	46,8	0,497	0,356
70/30	2,5	44,3	48,2	0,563	0,223
70/30	5	42,6	50,6	0,604	0,226
70/30	10	42,3	51,4	0,612	0,224

Iz primejave difratograma IPP (slika 2a) z difraktogrami meānic na sliki 3 je razvidno, da je spremembra 110 refleksa PP poudarjena le ob dodatku SBS. Medtem ko se intenziteta 110 refleksa PP v meānici PP/PS bistveno ne spreminja (slika 3a), pa je njegovo pove-anje izrazito v meānicah z dodanim SBS (slike 3b-d). To natančno potrjuje primerjava vrednosti parametrov A_{110} in C, t.j. meritev za orientacijo odgovarjajo-ih ravnin (110) in (040) (tabela 1). Vrednosti parametra A₁₁₀ sistematično naražajo, isto-asno pa se vrednosti parametra C zmanjšujejo ob dodatku SBS. Iz rezultatov lahko sklepamo na pove-anje c-osne orientacije vseh meānic, ki vsebujejo SBS. Takšno pove-anje, kakor tudi povisanje stopnje kristalini-nosti ternarnih meānic, lahko prispeva k nekaterim izboljšanim mehan-skim lastnostim mati-ne faze PP¹⁷.

4 SKLEPI

Blokkopolimer SBS deluje v nemečljivi meānici PP/PS kot u-inkovit medfazni modifikator (kompatibilizator). TEM analiza je pokazala, da SBS v nemečljivih meānicah PP/PS zmanjšuje medfazno napetost in izboljša adhezijo med fazama, hkrati pa tvori skupaj s -istim PS dispergirane delce kompleksne strukture. Pri kompatibilizaciji nemečljivih meānic PP/PS se morfologija spremeni po eni strani zaradi zmanjševanja medfazne napetosti, preprečitve koalescence dispergirane faze in

povevanja medfazne adhezije, po drugi strani pa prihaja v matici PP do intenzivnih sprememb nadmolekulski strukture. Tak{na morfologija kompleksnih dispergiranih delcev, kot tudi spremembe nadmolekulske strukture PP v kompatibiliziranih me{anicah PP/PS/SBS (poveanje stopnje kristalini-nosti, velikosti kristalitov in orientacijskega parametra A_{110}), pogojujejo izbolj{anje nekaterih mehanskih lastnosti.

5 LITERATURA

- ¹L. A. Utracki, M. M. Dumoulin, v *Polypropylene: Structure, Blends and Composites*, Vol.2, ed. J. Karger-Kocsis, Chapman and Hall, London etc. 1995, pogl. 3
- ²E. Martuscelli, R. Palumbo, M. Kryszewski, *Polymer Blends, Processing, Morphology and Properties*, Plenum Press, New York, London 1980
- ³L. A. Utracki, *Polymer Alloys and Blends: Thermodynamics and Rheology*, Hanser Publishers, Munich etc. 1989
- ⁴S. Datta, D. J. Lohse, *Polymeric Compatibilizers, Uses and Benefits in Polymer Blends*, Hanser Publishers, Munich etc. 1996
- ⁵D. R. Paul, v *Polymer Blends*, Vol.2, ed. D. R. Paul, S. Newman, Academic Press, New York etc. 1978, pogl. 12
- ⁶G. Radonji-, V. Musil, *Kovine zlitine tehnologije*, 30 (1996) 75
- ⁷G. Radonji-, V. Musil, M. Makarovi-, *European Symposium on Polymer Blends*, Extended Abstracts, Maastricht, May 1996, 187
- ⁸G. Radonji-, V. Musil, M. Makarovi-, *Kovine zlitine tehnologije*, 31 (1997) 97
- ⁹A. J. Lovinger, M. L. Williams, *J. Appl. Polym. Sci.*, 25 (1980) 1703
- ¹⁰F. Coppola, R. Greco, E. Martuscelli, H. W. Kammer, C. Kummerlowe, *Polymer*, 28 (1987) 47
- ¹¹P. H. Hermans, A. Weidinger, *Makromol. Chem.*, 50 (1961) 98
- ¹²L. E. Alexander, *X-Ray Diffraction Methods in Polymer Science*, John Wiley, New York 1969
- ¹³J. P. Trotignon, J. Verdu, *J. Appl. Polym. Sci.*, 34 (1987) 1
- ¹⁴P. Zipper, A. Janosi, E. Wrentschur, *J. Physique. IV, Suppl. J. Phys. I*, 3 (1993) 33
- ¹⁵C. B. Bucknall, *Toughened Plastics*, Applied Science Publishers, London 1977
- ¹⁶S. L. Aggarwal, v *Processing, Structure and Properties of Block Copolymers*, ed. M. J. Folkes, Elsevier Applied Science, London 1985, pogl. 1
- ¹⁷G. Kalay, M. J. Bevis, *J. Polym. Sci., Polym. Phys.*, 35 (1997) 265